Механика

А В. БЕЛОКОПЫТОВА, О. А. ИВАНЕНКО, Л. А. ФИЛЬШТИНСКИЙ

ПЕРЕДАЧА НАГРУЗКИ ОТ УПРУГОГО РЕБРА К ПОЛУБЕСКОНЕЧНОЙ ПЬЕЗОКЕРАМИЧЕСКОЙ ПЛАСТИНКЕ

Контактные задачи для анизотропной полуплоскости с накладками ассматривались в [1]. Обзор основных результатов в атой области совержится в [2]. Взаимодействие изотропной или анизотропной иластины с двоякопериодической системой упругих тонких включений изучено в [3, 4].

Ниже рассматриваются задачи о передаче нагрузки от упругого тонкого включения или нериодической системы включений к полубесконечной высокерамической пластинке. Общие представления решений строятся на базе полученных в данной работе фундаментальных решений двумерных уравнений алектроупругости для полуплоскости. Детяльно исследуется случай, когда конец ребра выходит на границу полуплоскости. Приводятся результаты расчета.

1. Все построения будем проводить для поперечноимотронной ньезозаектрической среды (кристала гексогональной системы 6 mm, поляризозаиная вдоль осн ог керамика), уравнения состояния которой в кристалаофизической системе координат XUZ имеют вид [5]

$$= S_{13}\sigma_{x} + S_{13}\sigma_{y} + S_{13}\sigma_{z} + S_{13}E$$

$$= S_{12}\sigma_{x} + S_{13}\sigma_{y} + S_{13}\sigma_{z} + d_{33}E$$

$$= S_{13}\sigma_{x} + S_{13}\sigma_{y} + S_{33}\sigma_{z} + d_{33}E$$

$$= d_{15}\sigma_{x} + d_{33}E$$

$$= d_{15}\sigma_{x} + d_{33}E$$

$$\gamma_{xx} = S_{44}\sigma_{xx} + d_{15}E_{x}; \qquad d_{1} + c_{11}E_{y}$$

$$\gamma_{xy} = 2(S_{11} - S_{12})\sigma_{xy}; \qquad d_{31}\sigma_{x} + d_{33}\sigma_{z}$$

$$= d_{33}\sigma_{z}$$

$$= d_{33}\sigma_{z} + d_{33}\sigma_{z}$$

$$= d_{33}\sigma_{z} + d_{33}\sigma_{z}$$

Здесь σ_{i} , ..., τ_{i} и ε_{i} , ..., τ_{ig} — компоненты тензоров механических напряжений и деформаций E_{π} , E_{g} , E_{z} , D_{a} , D_{g} , D_{z} — компоненты векторов напряженности электрического поля и электрической индукции, $S_{ik} = S_{ik}$, d_{ik} , $\varepsilon_{ik} = \varepsilon_{ik}^{T}$ — соответственно упругие податливости, пьезоэлектрические модули и диэлектрические постоянные среды.

Привлекая уравнения равновесия, условия совместности деформации и уравнения Максвелла [6], находим с учетом (1,1) компоненты механических и электрических величин для случая плоского напряженного состояния в плоскости XO2

(1.2)

$$\begin{split} \sigma_{s} &= 2\operatorname{Re} \sum_{k=1}^{3} - \mu^{2}\Phi_{k}(z_{k}); \qquad z_{k} = x + \mu_{k}z \\ \tau_{rs} &= -2\operatorname{Re} \sum_{k=1}^{3} - \mu\Phi_{k}(z_{k}); \quad \operatorname{Im} \mu_{k} > 0 \\ \sigma_{s} &= 2\operatorname{Re} \sum_{k=1}^{3} \gamma_{k}\Phi_{k}(z_{k}); \quad \gamma_{k} = a_{20} + a_{22}\mu_{k}^{2} \\ u &= 2\operatorname{Re} \sum_{k=1}^{3} p_{k}\Phi_{k}(z_{k}) \\ w &= 2\operatorname{Re} \sum_{k=1}^{3} h_{k}\Phi_{k}(z_{k}) \\ \varepsilon_{s} &= -2\operatorname{Re} \sum_{k=1}^{3} h_{k}\Phi_{k}(z_{k}) \\ E_{s} &= 2\operatorname{Re} \sum_{k=1}^{3} h_{k}\Phi_{k}(z_{k}) \\ D_{s} &= 2\operatorname{Re} \sum_{k=1}^{3} h_{k}\Phi_{k}(z_{k}) \\ D_{s} &= 2\operatorname{Re} \sum_{k=1}^{3} h_{k}\mu_{k}\Phi_{k}(z_{k}) \\ D_{s} &= -2\operatorname{Re} \sum_{k=1}^{3} r_{k}\Phi_{k}(z_{k}) \\ \rho_{k} &= a_{14}\gamma_{k}\mu_{k} + a_{15}\gamma_{k}\mu_{k}\Phi_{k}(z_{k}) \\ \rho_{k} &= a_{14}\gamma_{k}\mu_{k} + a_{10}\gamma_{k}\mu_{k}^{-1} - (a_{21} - d_{15})h_{k} \\ \lambda_{k} &= a_{20}k\mu_{k}^{-1} - d_{15}\gamma_{k} \\ \Phi_{k}(z_{k}) &= d\Phi_{k}(z_{k})/dz_{k} \\ a_{10} &= S_{1} \qquad a_{12} - d_{13} - d_{23}, \quad a_{22} - \varepsilon_{33}, \quad a_{23} &= -d_{31} \\ a_{20} &= \varepsilon_{11}; \quad a_{21} - d_{13} - d_{23}, \quad a_{22} - \varepsilon_{33}, \quad a_{23} &= -d_{31} \end{aligned}$$

Эдесь и, w — компоненты вектора упругого смещения, ф — потенциал влектрического поля, р_к — корни характеристического уравнения.

$$(a_{10} + a_{12}\mu^2 + a_{14}\mu^4)(a_{20} + a_{22}\mu^2) - \mu^2(a_{21} + a_{23}\mu^2)^2 = 0$$
 (1.3)

Так, например, для керамики РДТ-5 вычисления дают

$$\mu_1 = 1.024i$$
, $\mu_2 = 0.215 + 1.038i$, $\mu_3 = -0.215 + 1.038i$

Компоненты главного вектора механических усилий вдоль дуги AB определяются формулами

$$\begin{bmatrix}
X_n ds = 2 \operatorname{Re} \sum_{k} \gamma_k \Phi_k (z_k) \\
\lambda_B
\end{bmatrix}$$

$$\begin{bmatrix}
Z_n ds = -2 \operatorname{Re} \sum_{k} \gamma_k \Phi_k (z_k) \\
\lambda_B
\end{bmatrix}$$
(1.4)

Выражение для нормальной компоненты D_n вектора влектрической измукции D на дуге AB и потока вектора D через AB получим, использун формулы (1.2), и формулы для компонентов D_x и D_a из (1.1). Имеем (ψ — угол между нормалью к дуге AB и осью ox)

$$D_{a} = 2 \operatorname{Re} \sum_{k=1}^{3} a_{k} \left(\frac{1}{r} \right) r_{k} \Phi_{k} \left(z_{k} \right)$$

$$\int_{AB} D_{a} ds = 2 \operatorname{Re} \sum_{k=1}^{3} r_{k} \Phi_{k} \left(z_{k} \right)^{\frac{1}{2}}$$

$$a_{k} \left(\frac{1}{r} \right) = \mu_{k} \cos \varphi - \sin \varphi$$
(1.5)

2. Пусть и точке (x_0, z_1) неограниченной пластинки денстнует сосредоточенная сила $P = (P\cos\omega, P\sin\omega)$ или сосредоточенный варид плотности ρ .

Искомые функции в этом случае имеют вид

$$\Phi_k(z_k) = iA_k \ln(z_k - z_{k0}); \quad z_{k0} = x_0 + \mu_1 z_0 \qquad (k = 1, 2, 3)$$
 (2.1)

Для определения постоянных A_k необходимо привлечь три условня однозначности перемещений и потенциала электрического поля и три условия вида (L — произвольный замкнутый контур, охнатывающий точку (x_i , x_i).

$$X_n ds = P \cos w; \qquad Z_n ds = P \sin w; \qquad \bigcup_L D_n ds = p$$
 (2.2)

Реализация указанных условий приводит к системе шести алгебранческих уравнений относительно А.

$$2 \operatorname{Re} \sum_{k=1}^{3} A_{k} p_{k}^{n-3} := B_{k} \quad (n = 0, 1, ..., 5)$$

$$B_{n} = \frac{P \cos w}{2 \cdot a_{10} a_{20}} \left[\frac{a_{10} a_{10} a_{20}}{2} \cdot \frac{a_{11} - S_{11}}{2} \right]$$

$$B_{n} = \frac{1}{2 \pi \Delta_{1} a_{10}} \left[P \sin w \left(d_{13} a_{23} - a_{20} a_{23} \right) - a_{23} \right]$$

$$(2.3)$$

$$B_{2} = \frac{P\cos \omega}{2\pi \Delta_{1}} a_{23}$$

$$B_{3} = \frac{1}{2\pi \Delta_{1}} \{P\sin \omega (a_{21} - d_{15}) + 1\}$$

$$B_{4} = -\frac{P\cos \omega}{2\pi \Delta_{1}} a_{23}$$

$$B_{5} = \frac{\Delta_{3}}{2\pi \Delta_{1}\Delta_{3}} \{P\sin \omega \left[(a_{21} - d_{15}) + \frac{a_{12} - S_{44}}{2} \frac{\Delta_{1}}{\Delta_{3}} \right] + \rho \}$$

$$\Delta_{1} = a_{20}a_{23} - a_{21}a_{22}, \quad \Delta_{2} = a_{44}a_{23} - a_{23}, \quad \Delta_{3} = a_{21}a_{23} - a_{14}a_{20}$$

Определитель системы (2.3) $\Delta \neq 0$, так как

$$\Delta = -\frac{8i \operatorname{Im} \, \mu_1 \operatorname{Im} \, \mu_2 \operatorname{Im} \, \mu_3}{|\mu_1|^2 |\mu_3|} |(\mu_1 - \mu_2) (\mu_1 - \mu_3) (\mu_2 - \mu_3) (\mu_1 - \overline{\mu_2}) (\mu_1 - \overline{\mu_3}) \times \\ \times (\mu_2 - \overline{\mu_3})|^2$$

$$\operatorname{Im} \, \mu_k > 0, \quad \mu_k \neq \mu_n \quad (\kappa \neq n; \ k_1, n = 1, 2, 3)$$
(2.4)

Таким образом, система (2.3) определяет постоянные A_n . Подставляя их значение в (2.1), находим функции Φ_{κ} (ϵ_{κ}), описывающие поля механических и электрических величия в неограниченной пьеноэлектрической среде при действии сосредоточенных сил (зарядов).

Пусть теперь в некоторой внутренией точке $M(x_0, z_0)$ перхней полуплоскости спередотичен заряд плотности p или действует сосредоточенная сила $P = (P\cos\omega; P\sin\omega)$.

На границе z=0 зададим усилия z_{-1} z_{-1} и потенциал электрического поля q=0 (электродированная граница), в случае неэлектродированной границы, когда внешняя среда представляет собой воздух или вакуум, положим приближению $D_n=0$. Это сделать можно, так как диалектрическая проихудаемость воздуха или вакуума в сотии раз меньше, чем у керамики.

Требуется определить функции $\Phi_k(z_k)$, описывающие поля механических и электрических величии в среде.

Искомые функции представим в виде

$$\Phi_{k}(z_{k}) = \frac{iA_{k}}{z_{k} - z_{k0}} + \frac{1}{2\pi i} \int_{-\infty}^{\infty} \frac{\omega_{k}(x)}{x - z_{k}} dx$$

$$(k = 1, 2, 3), \quad \text{Im } \omega_{k} = 0$$
(2.5)

Постоянные A_n определены в (2.3), функции ω_x (x) подлежат определению.

В силу (4.2) краевые условия на границе z=0 запишем так:

$$2 \operatorname{Re} \sum_{k=1}^{3} c_{nk} \Phi_{k}(x) = f_{n}(x)$$

$$(n = 1, 2, 3), \quad c_{1k} = \gamma_{k} u_{k}, \quad c_{2k} = \gamma_{k}$$

$$f_{1}(x) = f_{2}(x) = \sigma_{2} |_{x=0}, \quad f_{3}(x) = 0$$

$$(2.6)$$

Здесь условие при n=3 соответствует для электродированной границы заданию $\partial c/\partial x=0$, и этом случае $c_{g_k}=l_k$. Если граница не вохрыта электродами, то электрическое граничное условие берем в виде $D_s=0$, в этом случае $c_{g_k}=-r_k$.

Подставляя предельные значения функций (2.5) я краевые условия (2.6), приходим к следующему матричному сингулярному интегральному уравнению

$$A\Omega(\xi) + \frac{B^*}{\pi} \int_{-\infty}^{\infty} \Omega(x) \frac{dx}{x - \xi} = f(\xi)$$
 (2.7)

$$A = \operatorname{Re} C = \|\operatorname{Re} c_{nk}\| \quad B = i \operatorname{Im} C - i \|\operatorname{Im} c_{nk}\|$$

$$Q(x) = \begin{bmatrix} \omega_1(x) \\ x \end{bmatrix}, \quad f(x) = \begin{bmatrix} f_1(x) \\ f_2(x) \\ f_3(x) \end{bmatrix}, \quad C = \begin{bmatrix} \gamma_1^{\alpha_1} & \gamma_2 \mu_2 & \cdots \\ \gamma_1 & \gamma_3 & \gamma_3 \\ c_{31} & c_{32} & \cdots \end{bmatrix}$$

$$f_n(x) = f_n(x) - 2 \operatorname{Re} \sum_{k=1}^{3} = \frac{iA_k}{x}$$
 (n - 1, 2, 3)

Проще всего обратить (2.7), решив соответствующую задачу Римана. Опуская выкладки, приведем окончательный результат (C^{-1} —матрица обратная к C).

$$2 (\mathfrak{t}) = [\operatorname{Re} C^{-1}] f(\mathfrak{t}) - \frac{\operatorname{Im} C^{-1}}{\mathfrak{t}} \int_{-\infty}^{\infty} \frac{f(x)}{x} dx \qquad (2.8)$$

$$ReC^{-1} - i Im C^{-1} = C^{-1}$$

Учитывая выражение для столбца f(x) на (2.7) и выполняя в (2.8) необжодимые квадратуры, находим

$$2(x) = 2^{*}(x) + 2\operatorname{Re}\left\{(\overline{C})^{-1}C \left[\frac{iA_{1}}{x - z_{10}}, \frac{iA_{2}}{x - z_{30}} \right] \right\}$$

$$2^{*}(x) = \left[\operatorname{Re}C^{-1}\right]f^{*}(x) + \frac{\operatorname{Im}C}{x - z_{10}}\int_{-\infty}^{x} f^{*}(\xi) \frac{iA_{3}}{x - z_{30}} \right]$$

$$= \left[\omega_{1}, \omega_{3}\right], \quad \overline{C} = \left[c_{24}\right]$$
(2.9)

Здесь под выражением $[\alpha_i, \alpha_i, \alpha]$ полимаем матрицу-столбец $\Omega^*(x)$ — известный столбец.

Подставляя $\omega_k(x)$ из (2.9) в представления (2.5), получаем решение воставленной задачи

$$\Phi_{k}(z_{k}) = F_{k}(z_{k}) + \frac{A_{k}}{z_{k} - z_{t0}} + \sum_{n=1}^{3} \frac{\overline{b_{n}}}{z_{k} - z_{n0}}$$

$$F_{k}(z_{k}) = \frac{1}{2\pi i} \int_{-\infty}^{\infty} \frac{\omega_{k}(x)}{x - z_{k}} dx, \qquad B = (\overline{C})^{-1}C = \|b_{kn}\|$$

$$(k = 1, 2, 3)$$

Ингегрируя (2.10), находим

$$\Phi_{k}(z_{k}) = F_{k}(z_{k}) + iA_{k} \ln(z_{k} - z_{k0}) + \sum_{n=1}^{3} i\overline{b}_{kn} \overline{A}_{n} \ln(z_{k} - \overline{z}_{n0}) \quad (2.11)$$

Можно показать, что если действует лишь сосредоточенный варяд, а P=0, то имеют место равенства

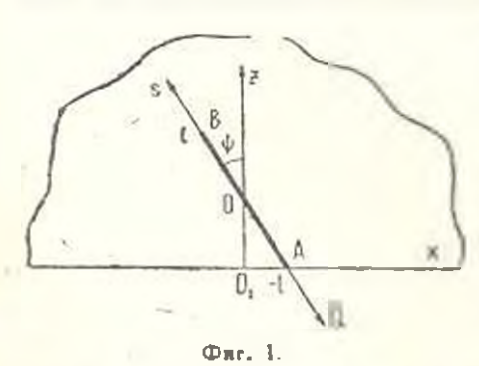
$$A_{k} + \sum_{n=1}^{3} \overline{b}_{kn} \overline{A}_{n} = 0$$

то есть функции $\Phi_k(z_k)$ затухают при $|z_k| - \infty$. Если же $P \neq 0$, то $\Phi_k(z_k)$ ведет себя на бесконечности, как $\ln z_k$, то есть неограниченно возрастает.

Если граница полупространства z=0 свободна от сил, то в (2.10) необходимо положить $F_k(z_k)=0$ (k=1,2,3).

Функции $\Phi_{\kappa}\left(z_{\kappa}\right)$ определяют в атом случае функцию Грина двумерной краевой задачи электроупругости для верхней полуплоскости z>0.

3. Рассмотрим пьезокерамическую полубескопечную пластинку, полкрепленную тонким упругим диалектриком, выходящим на границу z=0(фиг. 1). Предположим, что к концу ребра приложена сила Q, ребро рабо-



тает лишь на растяжение— сжатие, граница z=0 электродирована и и свободна от сил.

В втих условиях в пластинке возникают связанные сингулярные поля механических напряжений и вектора напряжениости электрического поля. Электрические краевые условия на линии ребра имеют вид

$$E_{*}^{+} = E_{*}^{-}, \quad D_{*}^{+} = D_{*}^{-} \quad (3.1)$$

где E_* — насательная компонента вектора напряженности электрического поля, знак плюс относится к левому берегу при движении от начала ребра (точка A) к кочцу ребра (точка B).

Приравнивая осевую деформацию включения к полусумме деформаций пластинки на его берегах (что допустимо в силу достаточно малой толщины включения), получим, на основании (1.2), условие совместности деформаций ребра и пластинки.

$$2\operatorname{Re}\sum_{k=1}^{3} a_{k}(\psi) R_{k}(\psi) \Phi_{k}(t_{k}) = \frac{N}{\overline{E}_{0} r_{0}}$$

$$N = -\int_{0}^{t} g(s) ds, \quad R_{k}(\psi) = q_{k} \cos \psi - p_{k} \sin \psi \qquad (3.2)$$

$$t_{k} = \operatorname{Re} t + u_{k} \operatorname{Im} t, \quad t \in [-l, l]$$

Эдесь V — усилие в сечении ребра, g(s)/d интенсивность контиктных усилий, E_0 F_0 —соответственно модуль Юнга, площаль поперечного сечения ребра, ψ — острый угол между ребром и осью z, [-l, l] — отрезок, занимаемый осью ребра.

Используя фундаментальное решение (2.10), искомые функции представим в виде

$$\Phi_{k}(z_{k}) = \frac{b_{k}}{2\pi i d} \int_{-1}^{l} \frac{g(s)}{t_{k} - z_{k}} ds + \frac{1}{2\pi i d} \sum_{n=1}^{3} \overline{b}_{kn} \overline{b}_{n} \int_{-1}^{1} \frac{g(s) ds}{t_{n} - z_{k}}$$

$$\lim g(s) = 0, \quad t_{k} = l \, \mu_{k} \cos b + a_{k}(1) \, S$$

$$(3.3)$$

Здесь $b_k = A_k$ при $P = 2\pi$, p = 0; $d = \pi$ толіцина пластинки, $2l = \pi$ длина ребра. Можно показать, что представления (3.3) автоматически удовлетворяют на границе z = 0 краевым условиям

$$\sigma_{*} = 0, \qquad = 0, \quad \varphi = 0 \tag{3.4}$$

Подставляя в (3.2) полусумму предельных значений функции (3.3) и вводя параметризацию отрезка [-l, t] по формулам

$$s = \{l, -1 \le l \le 1, g(s) = \omega(l)\}$$
 (3.5)

приходим к сингулярному интегродифференциальному уравнению относительно функции ω(ξ)

$$\int_{-1}^{1} \frac{\omega(\xi)}{\xi - \xi_{0}} d\xi + \int_{-1}^{1} H^{*}(\xi, \xi_{0}) \omega(\xi) d\xi + \lambda \int_{\xi_{0}}^{1} \omega(\xi) d\xi = 0$$

$$G = 2 \operatorname{Im} \sum_{k} b_{k} R_{k} (\frac{1}{2})$$

$$H^{\bullet}(\xi, \xi_{0}) = 2 \operatorname{Im} \sum_{k, n-1}^{n} \frac{\overline{b_{kn} b_{n}} a_{k} (\phi) R_{k} (\frac{1}{2})}{\overline{a_{n} (\frac{1}{2})} G[\xi - r_{kn}(\xi_{0})]}$$

$$\lambda = \frac{2\pi l d}{E_{0} F_{0} G}$$

$$r_{kn}^{\bullet}(\xi_{0}) = -1 + \frac{a_{k} (\phi)}{\overline{a_{n} (\phi)}} (1 + \xi_{0})$$

К уравнению (3.6) необходимо присоединить дополнительное статическое условие

$$\int_{-1}^{1} \omega(\xi) d\xi = -\frac{Q}{l}$$

В ядре H^+ (с. с.) имеется неподвижная особенность в точке

$$\xi = \xi_1 = -1$$

Aля определения порядка особенности функции $\omega(\xi)$ на выходящем к границе конце ребра положим

$$\omega(\xi) = \frac{\omega_0(\xi)}{(1+\xi)^{\beta}}; \quad \text{Im } \beta = 0; \quad \xi \in H[-1; 1); \quad 0 < \beta < 1$$
 (3.7)

Подставляя (3.7) в интегральное уравнение (3.6) и используя формулы для асимптотических значений интеграла типа Коши в окрестности конца линии интегрирования [7], приходим после стандартной процедуры к трансцендентному уравнению относительно р

$$2 \operatorname{Im} \sum_{k_1 = -1}^{3} \bar{b}_{k_2} \bar{b}_{k_3} R_{k_3}(2) = \frac{\sigma_{k_1}(2)}{\sigma_{k_2}(2)} \Big]^{1-\beta} - G \cos \pi \beta = 0$$
 (3.8)

4. Пусть теперь полубесконечная пьезовлектрическая пластинка усилена периодической системой ребер, выходящих на границу $\varepsilon=0$ (фиг. 2). Будем предполагать, что к концам ребер приложены одинаковые силы Q и ребра непрерывно скреплены с пластинкой.

Учитывая периодичность механических и электрических полей, представим искомые функции в виде

$$\Phi_{k}(z_{k}) = \frac{1}{2 \operatorname{Tid}} \int_{z_{1}}^{z_{1}} g(s) \left[\operatorname{d} s + \frac{\left(l_{n} - z_{k} \right)}{T} - i \right] ds + \frac{1}{2 \operatorname{Tid}} \sum_{i=1}^{3} \overline{b}_{kn} \overline{b}_{n} \int_{z_{1}}^{t} g(s) \left[\operatorname{d} s + \frac{\left(l_{n} - z_{k} \right)}{T} - i \right] ds$$
(4.1)

где T — период структуры.

Очевидно, что условие совместности деформаций (3.2) достаточно выполнить на одном из ребер, в силу (4.1) на остальных ребрах оно выполнится автоматически.

Как и выше, приходим к сингулярному интегро-дифференциальному уравнению

$$\int_{-1}^{1} G_{1}(\xi, \zeta_{0}) \omega(\xi) d\xi + \int_{-1}^{1} G_{2}(\xi, \zeta_{0}) \omega(\xi) d\xi + i \int_{\zeta_{0}}^{1} \omega(\xi) d\xi = M$$
 (4.2)

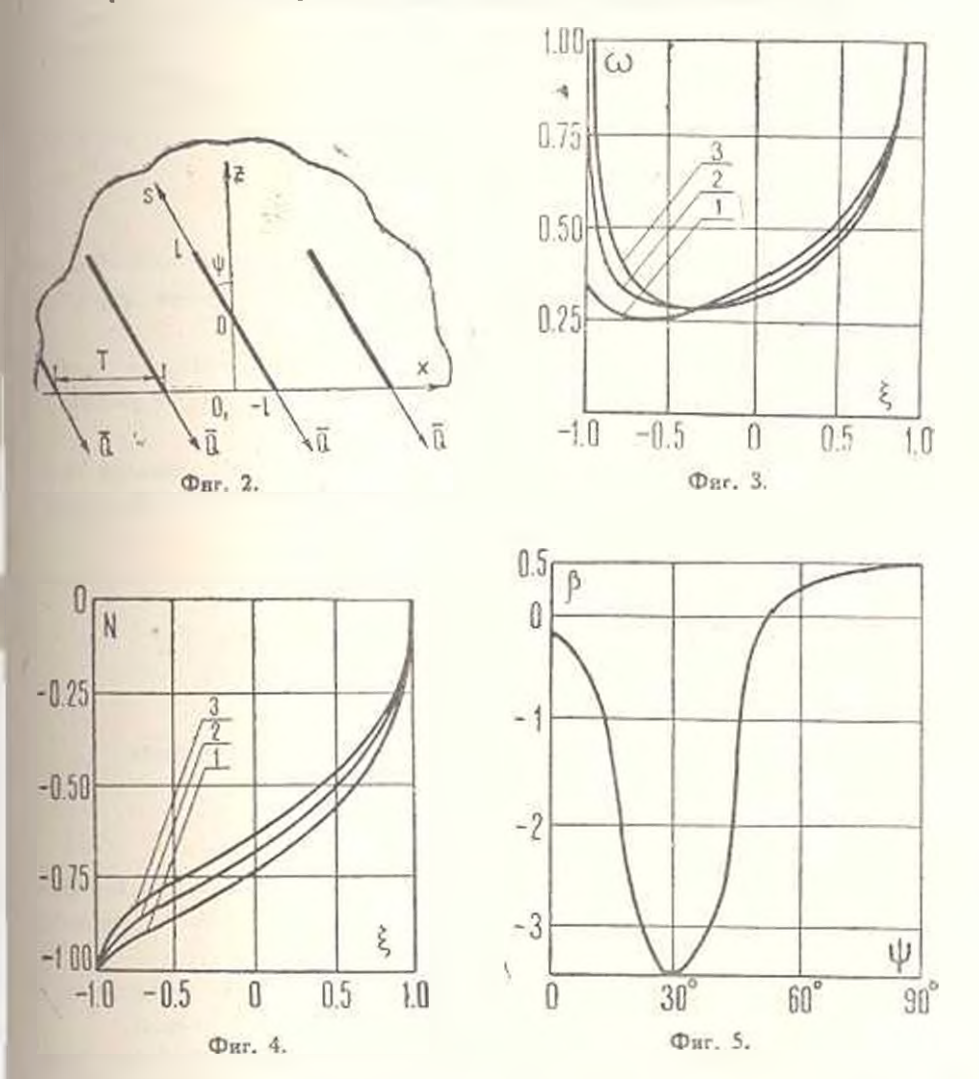
$$G_{1}(\xi, \xi_{0}) = 2 \operatorname{Im} \sum_{k=1}^{3} \overline{b}_{k} a_{k} (\psi) R_{k} (\psi) \operatorname{ctg} \left\{ a_{k} (\psi) (\xi - \xi_{0}) \right\}$$

$$G_{2}(\xi, \xi_{0}) = 2 \operatorname{Im} \sum_{k, n=1}^{3} \overline{b}_{kn} \overline{b}_{n} a_{k} (\psi) R_{k} (\psi) \operatorname{ctg} \left[\overline{a_{n} (\psi)} \left[\xi - r_{kn}^{*} (\xi_{0}) \right] \right]$$

$$= \frac{2Td}{L} \qquad a_{k} (\psi) = \frac{1}{T} a_{k} (\psi)$$

$$M = \frac{O}{L} 2 \operatorname{Re} \sum_{k=1}^{3} c_{k} a_{k} (\psi) R_{k} (\psi); \qquad c_{k} = b_{k} + \sum_{n=1}^{3} \overline{b}_{kn} \overline{b}_{n}$$

5. Уравнение (3.6) реализовано численно по схеме работы [8].



На фиг. 3 представлены кривые изменения контактиых усилий — $\omega(\xi)$, а на фиг. 4—внутренних усилий N в сечении ребра по его длине (кривые 1, 2, 3 относятся к значениям $\psi=55^\circ$, 60° , 75° соответственно).

На фиг. 5 приведен график изменения порядка особенности β в функции от угла ф.

Из результатов расчета следует, что при $0 = \psi = 51^\circ$ контактных усилня — ω (ξ) ограничены на конце A, при $51 < \psi = 90^\circ$ в контактных усилиях появляется особенность, определяемая формулой (3.7).

Авторы благодарят О. А. Письмиченко за помощь при численной реализации алгоритма.

Сумский филиал Харьковского политехнического института ям. В. И. Леница

Поступнаа 12 V 1980

լ. վ. ԲԵԼՈԿՈՊԵՏՈՎԱ, Օ. Ա. ԵՎԱՆԵՆԻՈ. Լ. Ա. ՖԻԼՇՏԻՆՍԿԻ

ԱՌԱՁԳԱԿԱՆ ԿՈՎՒՑ ՔԵՌԵՎԱԾՈՒԹՅԱՆ ՓՈԽԱՆՑՈՒ<mark>ՄԸ</mark> ԿԻՍԱՍԵՎԵՐՋ ՊՅԵՉՈԿԵՐԱՄԻԿ ՍԱԼԻՆ

Udhadaid

Դիտարկված են մեկ կողից կամ կողերի պարբերակա<mark>ն Համակարդից</mark> պլեզոկերամիկ կիստանվերջ սալին բեռնվածության փոթրացման վեր<mark>արեր</mark>յալ էլեկտրոտառաձգական երկչափ կոնտակտային խնդիրներ։

Հոդվածում կառուցված Դրինի ֆունկցիայի օդատկոր<mark>ծմամբ գրված</mark> խնդիրը բերված է կոնտակտային ճիդերի նկատմամբ սինզու<mark>լյար ինտեգրա</mark>դի ը նցիալ վաս ը ա

Աղրադծի վրա դուրս եկող կողի ծայրում՝ կոնտակաային <mark>ճիղերի եզա-</mark> կիության կարդը որոշելու համար ստացված է տրանսցինդենտ <mark>հավասա</mark>րում։ Քերվում են թվային արդյունջները։

LOAD TRANSFER FROM AN ELASTIC RIB TO A SEMI-INFINITE PIEZOCERAMIC PLATE

L. V. B LOKOPYTOVA, O. A. IVANENKO, L. A. PHILSHTINSKI

Summary

The paper deals with two-dimensional contact problems of electroelasticity concerning load transfer from a single rib or a periodic system of ribs to a piezoceramic semiinfinite plate.

By using the Green function the given problem is reduced to a singular integro-differential equation relative to contact stresses.

A transcendental equation for determining the order of the peculiarity of contact stresses on the boundary-side rib end is obtained. The results of the calculations are also given.

АИТЕРАТУРА

- 1 Саркисян В. С., Овсепян Л. О. Контактная задача для анизотропной полуплоскости с упругими креплениями. Докл. АН Арм. ССР, 1971, т. 52, № 5.
- 2 Саркисян В. С. Некоторые задачи математической теории упругости анизотропного тела. Изд-во Ереванского ун-та, 1976.
- Делих В. Н., Фильштинский Л. А. Об одной модели регулярной кусочно-неоднороввой среды, Изв. АН СССР, Механика твердого тела, 1976, № 2.
- 4 Долгих В. Н., Фильштинский Л. А. Модель анизотронной среды, армированной топжими лентами. Прикл. механика АН УССР, 1979, т. 15, № 4.
- 5. Ней Дж. Физические свойства кристаллов и их описание при помощи тензоров и матриц. М., Изд-во иностр. лит., 1960.
- 6 Белокопытова Л. В., Фильштинский Л. А. Двумерная красвая задача электроупруго ств для пьезовлектрической среды с разрезами. Изв. АН СССР, Прикл. математика и механика, 1979, т. 43. вып. 1.
- Мределишован Н. И. Сингулярные интегральные уравнения. Граничные задачи теоряв функции и некоторые их приложения к математической физике. М., изд-во «Наука», 1968.
- Келиндия А. И. Математические методы двумерной упругости. М., изд-ло «Наука».
 1973.